

5. С. Т. Конобеевский и др. В кн. «Труды Второй международной конференции по мирному использованию атомной энергии (Женева, 1958)». Докл. советских ученых. Т. 3. М., Атомиздат, 1959, стр. 585.
6. С. Т. Конобеевский и др. «Атомная энергия», 4, 34 (1958).
7. A. Shondy et al. Radiation Damage in Reactor Materials. Vienna, IAEA, 1963, p. 133.
8. M. Englander et al. Доклад № 97, представленный Францией на Третью международную кон-

- ференцию по мирному использованию атомной энергии (Женева, 1964).
9. G. Colabianchi et al. Там же, доклад № 735, представленный Италией.
10. Н. Ф. Прадюк и др. Там же, доклад № 338б, представленный СССР.
11. Ю. И. Грибанов и др. В сб. «Металлургия и металловедение чистых металлов». Вып. 3. М., Госатомиздат, 1963, стр. 228.
12. С. Т. Конобеевский и др. См. [5], стр. 406.

## Исследование испарения двуокиси и карбидов урана

Ю. А. ГОРБАНЬ, Л. В. ПАВЛИНОВ, В. Н. БЫКОВ

В работе определялась упругость пара над двуокисью и карбидом урана дифференциальным вариантом метода Кнудсена. Для двуокиси урана получена зависимость между изменением состава (по кислороду) и температурой изотермической выдержки. По зависимости упругости пара от температуры в области 1600—2300° С определены теплота и свободная энергия испарения.

Испарение карбидов урана в вакууме происходит с потерей углерода, при этом теплота диссоциации зависит от содержания связанного углерода. Наличие свободного углерода снижает летучесть монокарбида.

Изучением испарения окислов и карбидов урана занимались многие исследователи [1—14]. Наличие нескольких фаз в системе U—O, большинство из которых имеет определенные области гомогенности, существенно затрудняет изучение этой системы. По многим вопросам мнения различных авторов сильно расходятся. Особенно значительные расхождения существуют для области  $UO_{2,00}$ — $UO_{2,25}$ . Кац и Рабинович [1], подробно рассматривая систему U—O, из-за противоречивых данных не смогли определить все участки диаграммы. В более поздних работах [2—4] единство мнений не установилось. Имеющиеся противоречия во взглядах на состояние и структурные особенности фазовых составляющих системы U—O в области  $UO_{2,00}$ — $UO_{2,25}$  рассмотрены в работе В. М. Жуковского и др. [5]. В частности, в ней отмечается, что 1) не решен вопрос о максимальном содержании кислорода в  $UO_{2+x}$ ; 2) не определены четко границы области гомогенности фазы  $U_4O_9$ ; 3) не установлен механизм испарения и состав паровой фазы над нестехиометрической  $UO_{2+x}$ .

Анализируя опубликованные данные, нетрудно убедиться, что возникающие противоречия в большой степени зависят как от метода и условий исследования, так и от технологии

УДК 536.422.621.039.542.34

приготовления образцов двуокиси урана. Например, в работе [5] при прямом восстановлении  $U_4O_9$  рентгеноаморфной сажей при 700—950° С перераспределение кислорода между фазами  $UO_{2,23}$  и  $UO_{2+x \text{ макс}}$  заканчивалось при снижении суммарного содержания кислорода до  $UO_{2+x \text{ макс}}$  (где  $0,18 > x > 0,1$ ). Ниже этого содержания фаза  $UO_{2,23}$  исчезала. При восстановлении азотно-водородной смесью величина  $x_{\text{макс}}$  составляла 0,10—0,06. Данные по испарению  $U_4O_9$  отсутствуют.

В некоторых работах по исследованию дикарбида урана [10—13] испарение проводилось из графитовых тиглей. Предварительное изучение испарения методом Ленгмюра шести образцов карбидов состава  $UC_{1,06}$ — $UC_{1,86}$  показало [13], что потеря углерода всеми карбидами, за исключением  $UC_{1,07 \pm 0,05}$ , происходит преимущественно путем испарения. Однако при эффиusionных измерениях давление паров оказалось примерно в 10 раз выше рассчитанного по потере веса в предварительных опытах. По мнению авторов, возможной причиной этого является понижение температуры поверхности образцов. Рентгеноструктурный анализ некоторых сублимиков показал присутствие только углерода и карбидов урана. Полученное значение теплоты испарения (диссоциации)  $UC_{1,86}$  составляет  $\Delta H_{2000}^0 = 133,46 \text{ ккал/моль}$ .

Масс-спектрометрические исследования испарения  $UC_{1,90}$ , находящегося в равновесии с графитом, указывают [10] на утечку из эффиusionной камеры U, C,  $C_3$ ,  $UC_2$ , причем отношение U/ $UC_2 \approx 4$ , что не согласуется с данными анализа сублимиков в работе [13]. Измерения парциального давления паров урана эффиusionным методом привели к значению  $\Delta H_{2300}^0 = 158 \text{ ккал/моль}$  [10]. По другим данным [11, 12], в аналогичных условиях значения теплоты испарения  $UC_2$  составляют 142,6 и  $\sim 130 \text{ ккал/моль}$  соответственно.

В. Е. Иванов и др. [9] исследовали эффициентным методом испарение монокарбида урана из tantalового тигля. Полученная теплота испарения для температур до  $1900^{\circ}\text{C}$  составляет  $\Delta H_{\text{T}}^0 = 224,8 \text{ ккал/моль}$ . При этом отмечалось заметное взаимодействие карбида с tantalом выше  $1900^{\circ}\text{C}$ , влияние которого не исследовалось.

Настоящая работа была предпринята с целью получить дополнительные данные по испарению нестехиометрической двуокиси урана и карбидов урана при минимальном взаимодействии исследуемых образцов с материалом тигля.

### Методика эксперимента

Исследование испарения проводилось дифференциальным вариантом метода Кнудсена с конденсацией сублимата на мишениях из стали 1Х18Н9Т.

В установку одновременно загружается около 30 мишней, которые можно напылять без вскрытия установки и ухудшения вакуума. Испарение осуществлялось из окруженной нагревателем разборной эффициционной камеры диаметром 18 мм с эффициционным отверстием диаметром 0,75–1,2 мм. Диаметр внутренней полости составлял 12 мм при высоте 13 мм. Камера заполнялась исследуемым веществом примерно на половину объема.

Содержание кислорода в двуокиси урана определялось весовым методом с точностью  $\pm 0,03$  при кислородном коэффициенте (1,4%), а также по изменению параметра кристаллической решетки, согласно работе [5]. Примеси определялись спектральным методом.

Карбиды урана анализировались при помощи газообъемного метода с точностью  $\pm 1\%$  от общего содержания.

В процессе напыления в установке поддерживался вакуум порядка  $5 \cdot 10^{-6} - 1 \cdot 10^{-6} \text{ мм рт. ст.}$ . Изменение вакуума в пределах  $1 \cdot 10^{-5} - 1 \cdot 10^{-6} \text{ мм рт. ст.}$  на результатах опыта не отражалось. Изменение отношения площади эффициционного отверстия к площади сечения камеры в пределах 0,004–0,01 также не влияло на результаты, что говорит об установлении в камере равновесного давления. Специальная проверка показала, что коэффициент конденсации в условиях опыта равнялся 1. Температура измерялась вольфрам-рениевой термопарой с точностью  $\pm 15^{\circ}\text{C}$  и записывалась на ЭПП-09. Количество конденсата на мишениях определялось по  $\alpha$ -активности природного урана. При расчете упругости

сти пара принималось, что  $\text{UO}_{2,00}$  испаряется в виде молекулы  $\text{UO}_2$ . Максимальная погрешность при определении упругости пара не превышала 15%. Заметного взаимодействия двуокиси урана с материалом камеры (молибден) в процессе опытов не обнаружено.

При исследовании карбидов наблюдалось слабое спекание карбидов с вольфрамом (материал камеры и диафрагмы), а также взаимодействие паровой фазы со стенками с образованием карбидов вольфрама. Глубина взаимодействия после проведения всей серии опытов не превышала 50 мк.

### Исследование двуокиси урана

Исходный порошок двуокиси урана имел следующий состав (%): U – 86,79; O – 12,76;  $\text{H}_2\text{O}$  – 0,357; Fe – 0,03; Mn – 0,06; Al – 0,001; Cu < 0,001. Содержание кислорода соответствовало формуле  $\text{UO}_{2,20}$ . Рентгенографический анализ показал наличие только сильно размытых линий фазы  $\text{UO}_{2+x}$  с параметром решетки  $a = 5,460 \text{ \AA}$ , что соответствует формуле  $\text{UO}_{2,09}$  [5].

Образцы в виде спрессованных таблеток помещали в молибденовую камеру с молибденовой диафрагмой, отжигали в течение 5 ч при  $1500^{\circ}\text{C}$ , затем температуру повышали и открывали мишени. Мишени напыляли при ступенчатом повышении температуры и при понижении ее с промежуточным охлаждением между двумя температурами и без охлаждения. Результаты приведены на рис. 2.

Другие образцы подвергались предварительным отжигам начиная с температуры  $460^{\circ}\text{C}$ . Результаты рентгенографического исследования приведены на рис. 5.

Уже после 5-часовой выдержки при  $460^{\circ}\text{C}$  на рентгенограммах появлялись линии фазы  $\text{U}_4\text{O}_{9+y}$ . Различие в содержании кислорода в исходной двуокиси и в фазе  $\text{UO}_{2+x}$ , по-видимому, можно объяснить присутствием фазы  $\text{U}_4\text{O}_{9+y}$  в мелкодисперсном состоянии или, согласно работе [2], присутствием  $\text{U}_3\text{O}_7$ , переходящей при нагреве в  $\text{U}_4\text{O}_{9+y}$ .

С увеличением температуры (рис. 1)  $\text{U}_4\text{O}_{9+y}$  обогащается кислородом, а  $\text{UO}_{2+x}$  теряет его, достигая стехиометрического состава при  $2170^{\circ}\text{C}$ . Эта работа подтверждает данные Гронтвальда (см. работу [5]) о том, что область гомогенности  $\text{U}_4\text{O}_9$  простирается до  $\text{UO}_{2,28}$ . Фаза  $\text{U}_4\text{O}_{9+y}$  исчезает примерно при  $1120^{\circ}\text{C}$  (отмечено стрелкой на рис. 1). В работе [3] указывается, что при  $1123^{\circ}\text{C}$  существует тройная

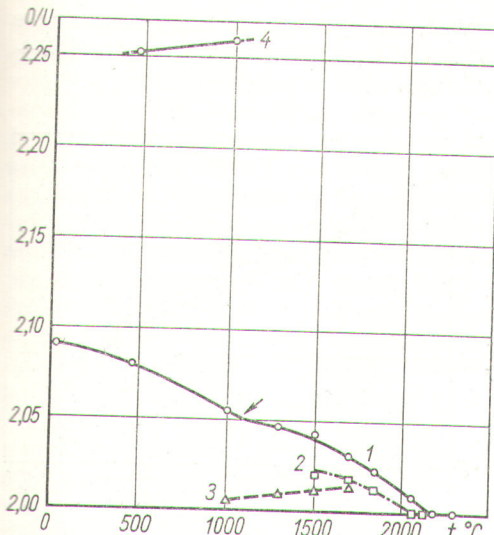


Рис. 1. Зависимость состава  $\text{UO}_{2+x}$  от температуры:

1 — исходный материал; 2 — конденсат внутри камеры; 3 —  $\text{UO}_{2,00}$ , помещенная в камеру без контакта с исходным материалом; 4 —  $\text{U}_4\text{O}_9$ .

точка с равновесием фаз  $\text{UO}_{2,245}(\text{UO}_{2+x})$ ;  $\text{UO}_{2,25}(\text{U}_4\text{O}_9)$  и  $\text{UO}_{2,61}(\text{U}_3\text{O}_{8-z})$  и что фаза  $\text{U}_4\text{O}_9$  не может содержать кислорода больше, чем  $\text{UO}_{2,25}$ . Однако это не подтверждается полученными результатами, которые не согласуются также и с предложенной диаграммой состояния. Согласно этой диаграмме, в наших опытах в момент исчезновения фазы  $\text{U}_4\text{O}_{9+y}$  должны были находиться в равновесии не  $\text{UO}_{2,055}$  и  $\text{UO}_{2,26}$ , а примерно  $\text{UO}_{2,20}$  и  $\text{UO}_{2,235}$  при температуре около  $1030^\circ\text{C}$ .

После выдержки при  $1300^\circ\text{C}$  на боковых стенках эффиционной камеры и диафрагме образовывался конденсат  $\text{UO}_{2+x}$  с несколько меньшим содержанием кислорода, чем основной образец. При повышении температуры (примерно до  $2070^\circ\text{C}$ ) состав конденсата достигал стехиометрического. Количество конденсата уменьшалось с уменьшением скорости нагрева и увеличением температуры (кривая 2 на рис. 1). Отсутствие данных об испарении  $\text{U}_4\text{O}_9$  не дает возможности судить о механизме испарения в системе  $\text{UO}_{2+x} - \text{U}_4\text{O}_{9+y}$ , с которым связано образование конденсата.

На рис. 2 представлен график зависимости  $\lg P$  от  $1/T$ . Сплошная линия соответствует упругости пара стехиометрической двуокиси урана. Пунктирной линией соединены точки, полученные при первом измерении после достижения равновесного, точнее, очень близкого к равновесному состоянию. Разницу между

содержанием кислорода в основном образце и в конденсате (см. рис. 1), по-видимому, можно объяснить тем, что давление кислорода в камере не было полностью равновесным вследствие взаимодействия с материалом камеры и утечки через эффиционное отверстие. Об этом свидетельствует также медленное понижение упругости пара при изотермических выдержках в первое время. Пересечение сплошной и пунктирной линий соответствует достижению стехиометрического состава при  $2170^\circ\text{C}$ . Ниже этой температуры получить двуокись урана стехиометрического состава увеличением продолжительности отжига до нескольких десятков часов не удалось.

Для стехиометрической двуокиси урана зависимость упругости пара от температуры описывается уравнением

$$\lg P_{mm} = -\frac{32258}{T} + 12,183,$$

откуда были найдены свободная энергия испарения

$$\Delta F_T = 147,500 \pm 500 - 42,5 \pm 0,5 T \text{ кал/моль}$$

и теплота испарения

$$\Delta H_T = 147,5 \pm 0,5 \text{ ккал/моль.}$$

Полученные результаты для стехиометрической двуокиси хорошо согласуются с данными работ [7—9].

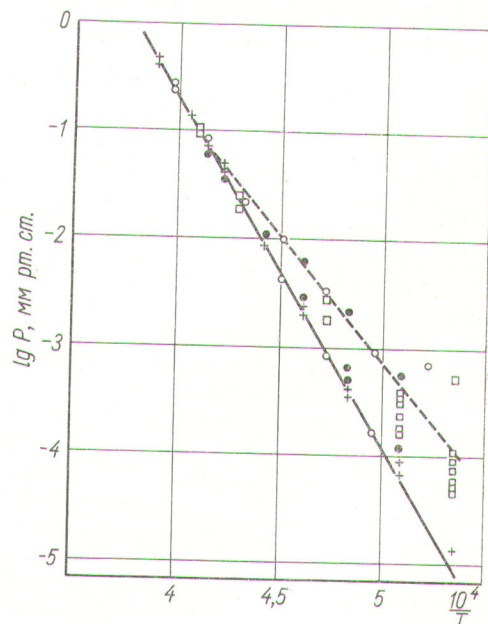


Рис. 2. Зависимость  $\lg P$  двуокиси урана от  $1/T$ .

### Исследование карбидов

Исследовались приготовленные восстановлением  $\text{UO}_2$  углеродом карбиды трех составов:  $\text{UC}_{1,03}$ ,  $\text{UC}_{1,05}$  и  $\text{UC}_{1,95}^*$ . Карбид  $\text{UC}_{1,03}$  содержал 0,04 вес.% свободного углерода. Два других карбида были переплавлены в дуговой печи и свободного углерода не содержали.

Образцы помещали в вольфрамовую камеру Кнудсена с вольфрамовой диафрагмой, отжигали при  $1700^\circ\text{C}$  в течение 4–5 ч, затем температуру повышали и открывали мишени. Мишени напыляли при ступенчатом нагреве и охлаждении. При  $2280^\circ\text{C}$  карбид  $\text{UC}_{1,03}$  сплавлялся с материалом камеры, поэтому в дальнейшем температура опыта ограничивалась  $2200^\circ\text{C}$ . Для карбида  $\text{UC}_{1,05}$  проверяли изменение упругости пара в изотермических условиях при  $2000^\circ\text{C}$  в течение 25 ч. За это время напыляли 14 мишеней. Упругость пара над карбидом оставалась постоянной за исключением периода напыления первой мишени, когда она была меньше примерно в 3,8 раза.

Результаты исследования представлены на рис. 3–5. При первичном нагреве карбида  $\text{UC}_{1,03}$  экспериментальные точки хорошо ложатся на прямую, описываемую уравнением

$$\lg P_{mm} = -\frac{35000}{T} + 11,7.$$

При этом свободная энергия испарения  $\Delta F_T = 160000 \pm 1000 - (40,3 \pm 1)T$  ккал/моль и теплота испарения

$$\Delta H_T = 160000 \pm 1000 \text{ ккал/моль},$$

что совпадает со значением 158 ккал/моль, полученным для дикарбида урана  $\text{UC}_{1,90}$  в равновесии с углеродом [10].

При расчете упругости пара принималось, что карбид  $\text{UC}_{1,03}$  испаряется в виде молекул  $\text{UC}$  [13]. Для карбидов  $\text{UC}_{1,05}$  и  $\text{UC}_{1,95}$  расчет велся по урану. При охлаждениях и повторных нагревах наклон прямой на графике был другим и соответствовал теплоте испарения  $\Delta H_T = 108,7 \pm 1$  ккал/моль (прямые 2, 3, 4 на рис. 3). Испарение карбида  $\text{UC}_{1,05}$ , не имеющего свободного углерода, характеризуется теплотой испарения  $\Delta H_T = 108,7 \pm 1$  ккал/моль (см. рис. 4). Результаты исследования  $\text{UC}_{1,95}$  приведены на рис. 5. Для этого карбида наблюдался значительный разброс экспериментальных точек. Теплота испарения, вычисленная

по результатам, которые были получены после нагрева до  $2200^\circ\text{C}$ , составляет  $\Delta H_T = 110 \pm 3,5$  ккал/моль.

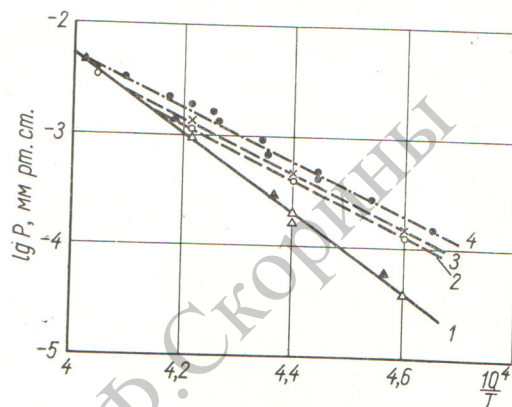


Рис. 3. Зависимость  $\lg P$  карбида  $\text{UC}_{1,03}$  от  $1/T$ :  
 $\triangle$ ,  $\blacktriangle$  — первый нагрев образцов 2 и 3 соответственно (прямая 1);  $\circ$ ,  $\times$  — второй и третий нагрев образца 2 соответственно (прямые 2, 3);  $\bullet$  — охлаждение и второй нагрев образца 3 (прямая 4).

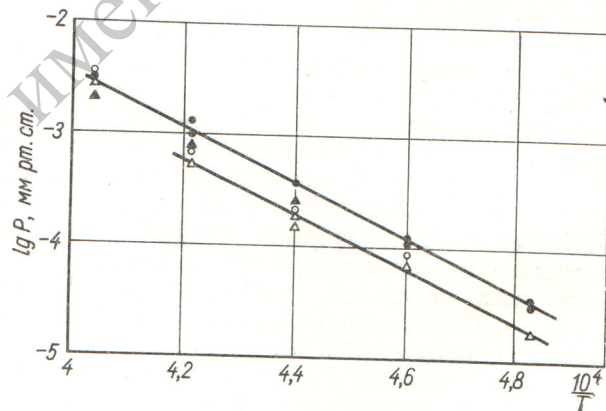


Рис. 4. Зависимость  $\lg P$  урана над карбидом  $\text{UC}_{1,05}$  от  $1/T$ :  
 $\triangle$  — первый нагрев;  $\circ$  — охлаждение;  $\blacktriangle$  — второй нагрев;  
 $\bullet$  — последующие нагрев и охлаждение.

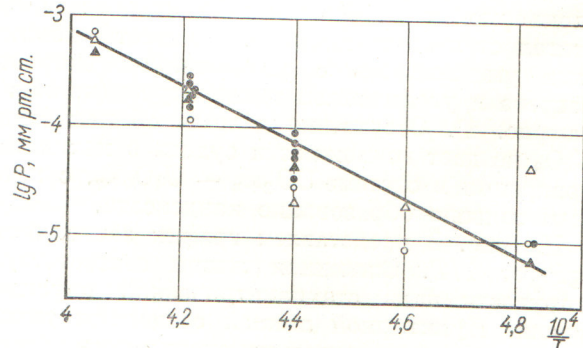


Рис. 5. Зависимость  $\lg P$  урана над карбидом  $\text{UC}_{1,95}$  от  $1/T$ . Порядок напыления мишеней:  $\triangle$  — 1;  $\circ$  — 2;  $\blacktriangle$  — 3;  $\bullet$  — 4 и последующие.

\* Индексы при С в дальнейшем будут использоваться для обозначения исходных карбидов.

Во всех трех карбидах наблюдалась потеря образцами углерода. Содержание углерода в карбидах снизилось с 4,95; 5,04 и 8,97 вес. % до 4,73; 4,62 и 6,32 вес. % соответственно. Наблюдавшееся увеличение летучести при повторных нагревах и охлаждениях, по-видимому, объясняется изменением состава карбидов, причем теплота испарения для всех карбидов остается неизменной и близкой к теплоте испарения металлического урана, для которого  $\Delta H^\circ = 116,6 \pm 0,1$  ккал/моль [14]. Это дает основание предполагать, что процесс испарения сопровождается разложением карбидов с образованием металлического урана и что теплота диссоциации не зависит от содержания связанного углерода. Наличие свободного углерода в карбиде  $UC_{1,03}$ , видимо, препятствует разложению монокарбида, и в этом смысле можно говорить о стабилизирующем действии свободного углерода.

Наблюдавшееся сильное увеличение летучести после хранения образцов в вакууме порядка  $1 \cdot 10^{-2}$  мм рт. ст. в течение 150—500 ч, видимо, можно объяснить загрязнением карбида кислородом [10].

Исследование состава остаточных газов в установке показало, что в начальный период нагрева резко увеличивалось содержание кислорода и водорода при уменьшении количества паров воды и выделялся гелий. Со временем количество кислорода, гелия и водорода резко снижалось, но увеличивался процент атомарного азота. После прогрева эффильтационной камеры в течение 4 ч при  $1820^\circ\text{C}$  остаточные газы в установке имели примерно следующий состав:  $H_2 - 43\%$ ;  $He - 1,2\%$ ;  $O_2 - 13\%$ ;  $N + N_2 -$

33%;  $H_2O - 16\%$ ;  $C - 1,4\%$ , остальное  $CO_2$  и пары масла, причем давление, измеренное при помощи манометрической лампы ЛМ-2, было равно  $3 \cdot 10^{-6}$  мм рт. ст. В расчете не учитывался атомарный водород, количество которого может быть значительным. Причина первоначального увеличения количества кислорода осталась невыясненной.

Специфические условия эксперимента в данной работе затрудняют сопоставление полученных результатов с данными других исследователей.

Поступила в Редакцию 1/VIII 1966 г.

## ЛИТЕРАТУРА

- Д. Ж. Кац, Е. Рабинович. Химия урана. М., Изд-во иностран. лит., 1954.
- Constitution of Uranium and Thorium alloys. Battelle Memorial Institute, Columbus Ohio, 1958.
- L. Roberts, A. Walter. J. Inorg. and Nucl. Chem., 22, 213 (1961).
- E. Auküst et al. Thermodynamics of Nuclear Materials. Vienna, IAEA, 1962, p. 713.
- В. М. Жуковский и др. «Физ. металлов и металловедение», 15, 210 (1963).
- G. De Maria et al. J. Chem. Phys., 32, 1373 (1960).
- R. Ackermann et al. J. Chem. Phys., 25, 1089 (1956).
- Н. М. Воронов и др. Thermodynamics of Nuclear Materials, Vienna, IAEA, 1962, p. 789.
- В. Е. Иванов и др. Там же, стр. 735.
- H. Eick et al. Ibid., p. 549.
- C. Alcock, P. Grivenson. Ibid., p. 563.
- H. Lonsdale, J. Graves. Ibid., p. 601.
- J. Leitnaker, W. Wittemann. J. Chem. Phys., 36, 1445 (1962).
- E. Rauch, R. Thorpe. J. Chem. Phys., 22, 1414 (1954).

## Коррозионные свойства некоторых двойных сплавов гафния

Р. В. ГРЕБЕННИКОВ, Ф. П. ШАМАШОВ

УДК 621.039.548.5:546.832

Приводятся данные коррозионных испытаний в паро-водяной среде при  $350-450^\circ\text{C}$ . Влияние легирующих элементов зависит от их содержания и температуры испытаний. Рост окисной пленки происходит в два этапа и подчиняется вначале параболическому закону, а после перегиба кинетической кривой, как правило, линейной закономерности.

Рост пленки увеличивается в основном при повышении содержания легирующих элементов более 0,5%. Растворимые в  $\alpha$ -гафнии элементы интенсивнее влияют на скорость роста пленки по сравнению с элементами, образующими с гафнием интерметаллические соединения.

С повышением температуры испытаний влияние легирующих элементов усиливается и изменяется их относительная эффективность.

Нелегированный гафний по сравнению с цирконием и циркониевым сплавом циркалой-2 имеет более высокую коррозионную стойкость в воде при температуре до  $360^\circ\text{C}$  [1]. Однако в паре при  $400^\circ\text{C}$  коррозионная стойкость гафния непостоянна и зависит от ряда факторов, в том числе от содержания примесей. В ряде случаев после выдержки в течение 700—2000 ч в паре при  $400^\circ\text{C}$  наблюдалось образование непрочных белых продуктов коррозии на темной окисной пленке [2, 3].

К настоящему времени опубликовано весьма мало сведений о коррозионной стойкости спла-